

(©)1995 г.

**ИССЛЕДОВАНИЕ ПРОЦЕССА РОСТА  
ЭПИТАКСИАЛЬНЫХ СЛОЕВ SiC  
ПРИ ХИМИЧЕСКОМ ОСАЖДЕНИИ ИЗ ПАРА  
В СИСТЕМЕ  $\text{CH}_3\text{SiCl}_3\text{-H}_2$**

*B. В. Зеленин, В. Г. Соловьев, С. М. Старобинец,  
С. Г. Конников, В. Е. Челноков*

Физико-технический институт им. А. Ф. Иоффе Российской академии наук,  
194021, Санкт-Петербург, Россия

(Получена 20 декабря 1994 г. Прията к печати 21 декабря 1994 г.)

Монокристаллические пленки 6*H*-SiC были выращены газофазной эпитаксией с использованием термического разложения метилтрихлорсилана в водороде. Эпитаксиальный рост изучался в широкой области температур, 1300–1700°C, скоростей газовых потоков, 1.5–7.5 см/с, при мольной концентрации метилтрихлорсилана в пределах 0.1–0.002%. Важным фактором, влияющим на морфологию слоев, является разориентация подложки на несколько градусов относительно базовой плоскости (0001) в направлении [1120]. Обнаружены точечные образования, идентифицированные рентгеновским микроанализом как кремний. Указаны возможные причины появления кремния.

### Введение

Успехи в области роста монокристаллов карбида кремния большого диаметра [1] стимулировали исследования в области технологии эпитаксиальных слоев и приборов на их основе. Наибольшее распространение получила технология выращивания SiC эпитаксиальных слоев из газовой фазы. В качестве газообразных источников кремния и углерода чаще других используются силаан ( $\text{SiH}_4$ ) и пропан ( $\text{C}_3\text{H}_8$ ) [2,3]. Другие системы представлены в литературе в значительно меньшей степени [4].

В данной работе рассматриваются условия роста эпитаксиальных слоев SiC на подложках 6*H*-SiC в системе метилтрихлорсилан ( $\text{CH}_3\text{SiCl}_3$ )–водород ( $\text{H}_2$ ) и влияние этих условий на морфологию поверхности.

# Эксперимент

Эпитаксиальный рост SiC осуществляли разложением метилтрихлорсилана (МТС) в реакторе с горячей стенкой в температурном интервале  $1350 \div 1700^\circ\text{C}$ . Во всех экспериментах температура барбатера с МТС была равной  $0^\circ\text{C}$ , что соответствовало давлению паров  $6.67 \cdot 10^3$  Па [5]. Используемый нами МТС содержал ди- и три-метилтрихлорсилан в количестве менее 0.01%. Изменение концентрации паров МТС, транспортируемых в реактор, осуществлялось изменением потока водорода через барбатер в пределах  $9 \div 26$  мл/мин и потоком разбавления в пределах  $1 \div 5$  л/мин. Диапазон потоков обеспечивал изменение линейной скорости газовой смеси в реакторе в интервале  $v = 1.6 \div 7.5$  см/с. Потоки измерялись тепловыми расходомерами типа РРГ. Концентрация МТС приводится в мольных %.

Для эпитаксиального роста использовался горизонтальный водоохлаждаемый реактор из кварцевого стекла, схема которого показана на рис. 1. Нагрев осуществлялся с помощью высокочастотного генератора с рабочей частотой 440 кГц. Ширина индуктора была 100 мм. В качестве нагревателя использовалась труба из стеклоуглерода с внутренним диаметром 38 мм и длиной 300 мм. Нагреватель размещался внутри реактора и одновременно являлся камерой роста, в которую подавалась парогазовая смесь. Снаружи осуществлялась продувка чистым водородом. Аналогично продувалось оптическое окно, расположенное в торце реактора. Использование дополнительных потоков водорода предотвращает паразитное осаждение на стенках и на окне реактора. Температура в реакторе оценивалась с помощью пирометра по излучению, исходящему из зоны нагрева.

В качестве подложек для эпитаксиального роста использовались кристаллы 6Н-SiC, полученные методом Лели, размером  $5 \times 7$  мм<sup>2</sup>, *n*-типа проводимости. Исходные пластины были ориентированы в базовой плоскости (0001). Угол разориентации от плоскости (0001) не превышал  $0.5^\circ$ . В ряде экспериментов эпитаксиальный рост проводили на подложках, дополнительно разориентированных в направлении

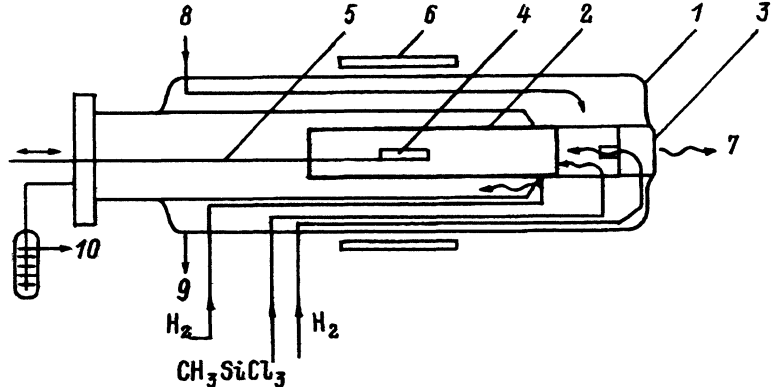


Рис. 1. Схема реактора для эпитаксиального роста SiC из газовой фазы: 1 — кварцевый реактор, 2 — трубчатый нагреватель, 3 — оптическое окно, 4 — подложка с подложкодержателем, 5 — шток, 6 — высокочастотный индуктор, 7 — выход излучения, 8,9 — ввод и вывод воды, 10 — выход газов.

[1120]. При указанных выше размерах и толщине  $400 \div 500$  мкм можно было получить дополнительную разориентацию порядка  $1.5 \div 2^\circ$ . Обычно для эпитаксиального роста газовой фазы используют подложки с разориентацией  $3 \div 5^\circ$ .

Для удаления нарушенного слоя, возникающего после механической обработки подложки, использовали операцию окисления. Окисление проводили в отдельном реакторе в атмосфере влажного кислорода в течение 5 ч при температуре  $1100^\circ\text{C}$ . Так как плоскость (0001) 6H-SiC полярна и взаимодействует с кислородом по-разному, эту операцию использовали одновременно для идентификации граней. Грань подложки (0001)С окисляется сильнее и визуально отличается по цвету от грани (0001)Si. Перед эпитаксиальным ростом окисел стравливался во фтористоводородной кислоте и далее проводилась стандартная операция отмычки в деионизованной воде и органических растворителях.

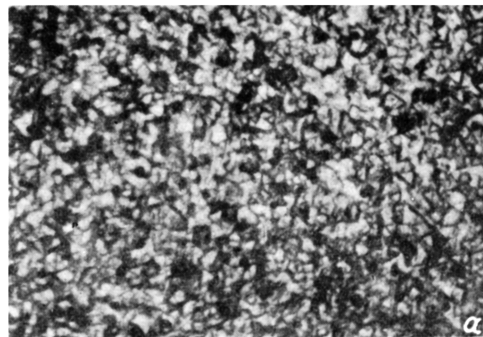
Подложки располагали на графитовой подставке, которая перемещалась с помощью штока в зону роста.

## Обсуждение результатов

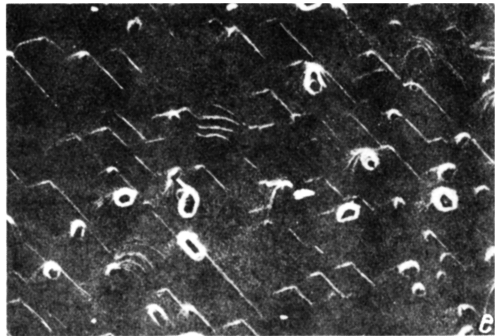
Эпитаксиальный рост слоев из газовой фазы является многофакторным процессом. Поэтому конкретизация условий, при которых эпитаксиальные слои растут зеркально-гладкими, является первоочередной задачей. Все эксперименты по росту были проведены на грани (0001)Si. Поверхности выращенных слоев исследовались с помощью оптического (рис. 2,*a,b*,  $\times 200$ ) и растрового электронного (рис. 2,*c-h*) микроскопов.

При температурах  $T \sim 1400^\circ\text{C}$  и высокой концентрации МТС ( $> 6 \times 10^{-2}\%$ ) в газовой фазе на поверхности кристалла наблюдается множество образование зародышей, которое связывают с проявлением кубической фазы 3C-SiC (рис. 2,*a*, образец 2-1). Когда пленка 3C-SiC осаждается на подложке 6H-SiC, то возможно проявление двух разных укладок рядов атомов [6]. Различие между этими двумя укладками заключается в повороте на  $60^\circ$ . Когда островки этих двух последовательностей срастаются, то образуются области с границами двойникования. Повышение температуры до  $1550^\circ\text{C}$  с одновременным уменьшением концентрации МТС до  $4.5 \cdot 10^{-2}\%$  приводит к укреплению блоков (рис. 2,*b*, образец 2-2). Наконец, увеличение линейной скорости потока до  $6.3$  см/с и температуры до  $1680^\circ\text{C}$  приводит к хорошо выраженной монокристаллической эпитаксиальной пленке без двойников (рис. 2,*c*, образец 2-3).

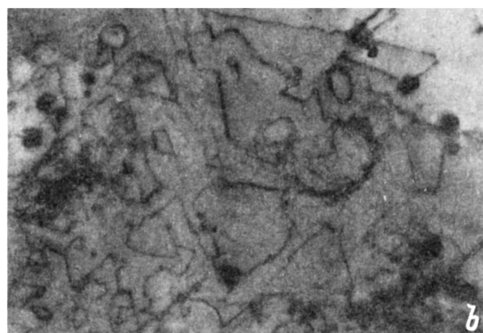
Так же как и в других газофазных эпитаксиальных системах, разориентация подложки в сильной степени оказывается на морфологии поверхности. Уже небольшая разориентация подложки, в  $2^\circ$ , позволяет снизить температуру на  $100^\circ\text{C}$  и выращивать при этом относительно гладкие эпитаксиальные слои (рис. 2,*d*, образец 2-4). С другой стороны, увеличение мольной концентрации до  $6 \cdot 10^{-2}\%$  и температуры до  $1670^\circ\text{C}$  даже при разориентации подложки ведет к пирамидальному росту (рис. 2,*e*, образец 2-5). Наличие ступеней с углами при вершине  $120^\circ$  указывает на наличие гексагональной симметрии полученного слоя. Наилучшие по морфологии эпитаксиальные слои 6H-SiC были



*a*



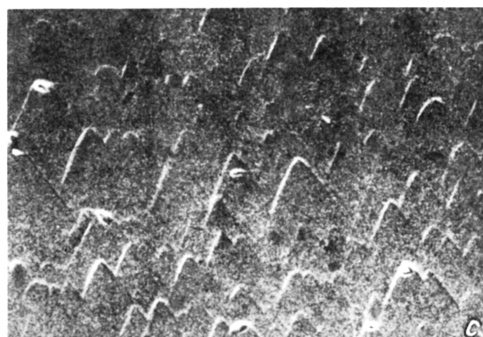
*b*



*c*



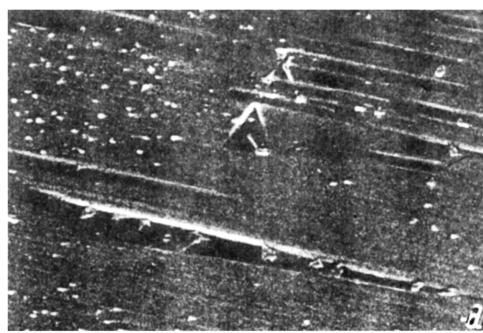
*d*



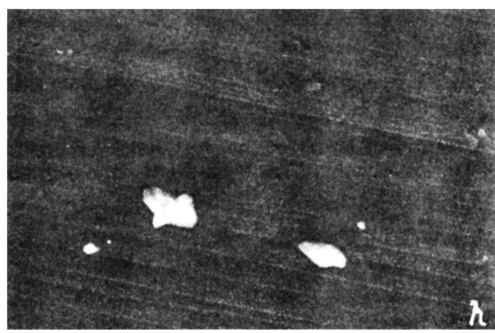
*e*



*f*



*g*



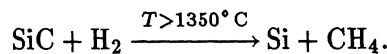
*h*

Рис. 2. Изменение морфологии поверхности в зависимости от условий выращивания. (а–г): образцы (2-1)–(2-7) таблицы. *h* — фрагмент поверхности образца 2-4 (*d*), увеличенный в 10 раз.

Параметры	#образца						
	2-1	2-2	2-3	2-4	2-5	2-6	2-7
Температура роста $T, ^\circ\text{C}$	1400	1550	1680	1580	1670	1550	1550
Концентрация МТС, $10^{-2}$ мол %	$\geq 6$	$\sim 4.5$	4	4	$\geq 6$	3.5	3.2
Скорость потока $v$ , см/с	1.6	3.4	6.3	6.3	6.3	6.3	7.5
Угол разориентации, град			$0 \div 0.5$				$2 \rightarrow [11\bar{2}0]$

выращены на разориентированных подложках при относительно малых мольных концентрациях МТС ( $3.5 \cdot 10^{-2}\%$ ) и наибольших линейных скоростях потоков ( $v = 7.5$  см/с). Условия роста эпитаксиальных слоев, которые соответствуют морфологии поверхностей, показанных на рис. 2, приведены в таблице. Следует отметить, что в ряде образцов на поверхности эпитаксиальных слоев наблюдались мелкие образования, похожие на капли (рис. 2,d, образец 2-4). Фрагмент этой поверхности, увеличенный в 10 раз, показан на рис. 2,h.

Проведенный нами рентгеновский микроанализ показал, что упомянутые образования являются каплями кремния. Наличие кремниевых капель в [2] связывалось с химической реакцией, протекающей при взаимодействии водорода с поликристаллическим покрытием SiC на графитовой арматуре реактора,



В [7] высказано предположение о том, что в результате взаимодействия  $\text{CH}_3\text{SiCl}_3$  с  $\text{H}_2$  на первоначальной стадии процесса устанавливается метастабильное равновесие, в котором в качестве конденсированной фазы выступают свободные Si и C и уже во вторую очередь SiC. Наши эксперименты по комбинационному рассеянию показали в ряде образцов наличие кремния, однако не показали наличия свободного углерода. Тем не менее, не исключена возможность существования вышеупомянутых механизмов одновременно.

### Заключение

Были выращены эпитаксиальные слои 6*H*-SiC в системе  $\text{CH}_3\text{SiCl}_3-\text{H}_2$  на ориентированных и разориентированных подложках 6*H*-SiC. Исследованы условия роста и их взаимосвязь с морфологией поверхности. На поверхности ряда образцов обнаружены мелкие точечные образования, идентифицированные как кремний. Указаны возможные причины появления свободного кремния. В дальнейшем предполагается изучить возможность подавления кремниевых включений.

### Список литературы

- [1] H.M. Hobgood, J.P. Hugh, J. Gregg, R.H. Hopkins, M. Skowronski. Inst. Phys. Conf. Ser., N 137, Chap. 1 [*The 5<sup>th</sup> SiC and Related Mater. Cong.* (Washington D.C., 1993)].
- [2] J.A. Powell, L.C. Matus. Springer Proc. in Phys., V. 43. *Amorphous and Crystalline Silicon Carbide and Related Materials II*, ed. by M.M. Rahman, C.Y.W. Wang, G.L. Harris (Springer Verlag, Berline, Heidelberg, 1989) p. 14.
- [3] Hiroguki Matesunami. *Physica B*, **185**, 65 (1993).
- [4] M.S. Saidov, Kh.A. Shamuratov, M.A. Kadyrov. *J.Cryst. Growth*, **87**, 519 (1988).
- [5] Справочник по физическим величинам, под ред. И.С. Григорьевой, Е.З. Мелихова (М., Энергоатомиздат, 1991).
- [6] W.S. Yoo, H. Matsunami. Springer Proc. in Phys., v. 71. *Amorphous and Crystalline Silicon Carbide IV*, ed. by C.Y. Rahman, G.L. Harric (Springer Verlag, Berline, Heidelberg, 1992) p. 66.
- [7] Т.Дж. Льюис. Сб.: *Карбид кремния*, под ред. Г. Хениша, Р. Роя (М., Мир, 1972) с. 310.

Редактор Л.В. Шаронова

---